

$\tau \sim \delta_s$ 曲線 図-2に最終破壊状況の一例を、図-3に接合面平均せん断応力度 τ と δ_s の関係を示す。接合面が平鋼板と波型鋼板とでひびわれ性状は全く異なった。平鋼板の接合面でのせん断抵抗は水平主筋とシャーコネクターのダボ作用に依存するため、ひびわれは鉄筋周辺に集中し、すべりせん断降伏強度 τ_{SL} を示した後、付着割裂ひびわれ ($\tau = 17 \sim 28 \text{ kg/cm}^2$) の発生によって、 δ_s は一挙に伸展する。波型鋼板は、波型が滑りを拘束しているため、 $\tau = 15 \sim 23 \text{ kg/cm}^2$ で波面と加力点間にせん断ひびわれが発生することにより、ストラットが形成され、強度はさらに増大し、破壊はこのストラット根元のコンクリートの圧壊によつた。 $P_{ST} = 1.34, 1.93$ %の2体は一体打よりやゝ緩慢な曲線勾配を示すものの、破壊時近傍まで一体打とほぼ同等の $\tau \sim \delta_s$ 曲線を示した。(2)強度 平鋼板を波型鋼板にすることにより接合面終局平均せん断強度 τ_{max} は約2.4～3倍も増大した。又、接合鉄筋比 P_{ST} が一体打の約1.6～2.2倍になると、波型鋼板の τ_{max} は一体打(空中製作) τ_{max} の0.86～0.9倍となり、耐力は大幅に向上した。(3) $\tau \sim \epsilon$ 曲線 接合面での鉄筋両面のひずみと τ との関係の一例を図-4に示す。平鋼板と波型鋼板とでは全く異なる現象が示された。明らかに両者の接合面での破壊のメカニズムが異なる。

3.2 BS₂シリーズ (1)破壊性状と $P \sim \delta$ 曲線

図-5に $P \sim \delta$ 曲線を示す。重ね継手長さ42φ, 50φのいづれも同一性状を示した。重ね継手鉄筋端部に入る曲げひびわれから斜めせん断ひびわれ発生により、剛性低下はみられるが強度は漸増し、接合面での下筋降伏後、重ね継手破壊した。(2)強度 表-1に示すように、継手破壊時曲げ耐力の対計算値比は1.12, 1.22であった。降伏後の剛性 δ_{max}/δ_y は、継手長42φが1.13に対し、50φは1.66と大きく継手長さの効果が十分認められる。

4.まとめ 接合面に波型鋼板を使用した場合の接合面終局せん断強度は平鋼板の約3倍もアップし、良好な $\tau \sim \delta_s$ 曲線が示された。これは平鋼板と波型鋼板との破壊機構が全く異なることに起因すると考えられる。したがつて、波型鋼板の場合の接合面終局せん断強度算定に前報の $c\tau_y = 0.36P_{ST}$ $\sigma_{sy} + 5.6$ は適応できないことがわかつた。BS₂シリーズの結果、J.BOX内で後行壁の水平主筋にせん断補強筋がなくても、重ね継手長が40φ以上あれば曲げ降伏耐力を確保し、良好な変形能が得られるものと確証した。

<参考文献> 1)第35回年次講演 V-79～81 (その1～その3)

2)第36回、V-36 (その4), 3)第37回、V-17 (その5), 4)基礎工 Vol.8 No.6; Vol.7 No.11.5) 土木学会誌 1980.4; 1980.8

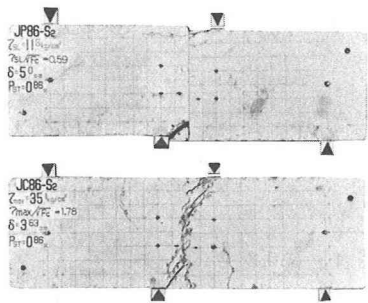


図-2 ひびわれ状況

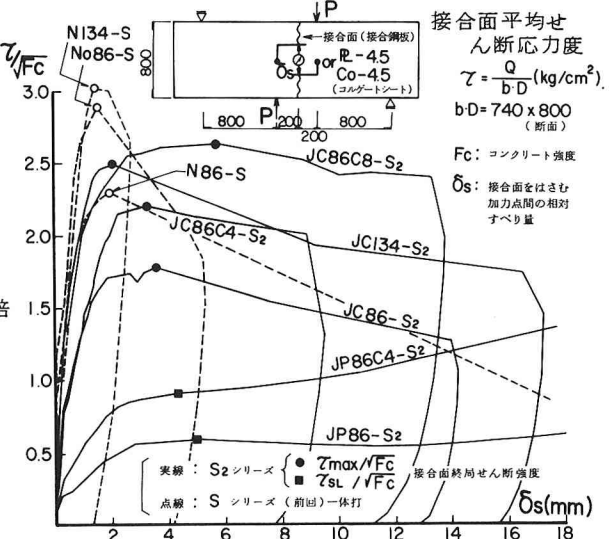


図-3 平均せん断応力度～接合面の相対すべり変位曲線

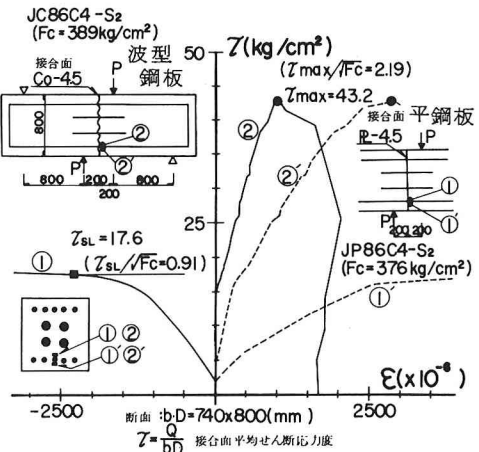


図-4 平均せん断応力度～接合面の主筋ひずみ曲線

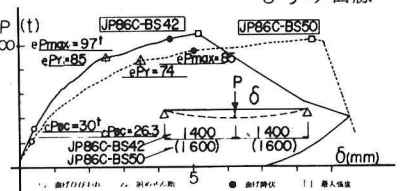


図-5 荷重～撓み曲線 (BS₂シリーズ)